

РОССИЙСКАЯ АКАДЕМИЯ НАУК

СИБИРСКОЕ ОТДЕЛЕНИЕ

А В Т О М Е Т Р И Я

---

2008, том 44, № 6

УДК 621.315.592

**ЭФФЕКТИВНЫЕ ТЕМП ОПТИЧЕСКОЙ ГЕНЕРАЦИИ  
И СКОРОСТИ ПОВЕРХНОСТНОЙ РЕКОМБИНАЦИИ  
НОСИТЕЛЕЙ ЗАРЯДА В ВАРИЗОННЫХ ПЛЕНОЧНЫХ  
ФОТОПРИЕМНЫХ СТРУКТУРАХ *p*-КРТ МЛЭ**

**Д. Ю. Протасов<sup>1</sup>, В. Я. Костюченко<sup>2</sup>**

<sup>1</sup>Институт физики полупроводников им. А. В. Ржанова СО РАН, г. Новосибирск  
E-mail: protasov@thermo.isp.nsc.ru

<sup>2</sup>Сибирская государственная геодезическая академия, г. Новосибирск

Рассчитан профиль концентрации фотогенерированных неравновесных электронов по толщине трехслойной пленочной структуры *p*-КРТ в скрещенных электрическом и магнитном полях, в которой ширина запрещенной зоны центральной области постоянна, а в прилегающих варизонных областях увеличивается. Показано, что трехслойную структуру с варизонными областями можно заменить однородной пленкой, введя эффективные темп поверхности генерации и скорости поверхности рекомбинации на границах центральной и варизонной областей.

**Введение.** Пленочные структуры на основе узкозонных соединений  $A_2B_6$ , а также тройных растворов из элементов этих групп широко используются для создания фотоприемных устройств инфракрасного диапазона. Эффективность работы фотоприемников во многом определяется процессами рекомбинации и диффузии неосновных носителей заряда (ННЗ).

Классическими методами изучения рекомбинационно-диффузионных свойств пленочных структур являются фотомагнитный эффект (ФМЭ) и фотопроводимость (ФП) в магнитном поле [1]. Магнитополевые зависимости сигналов ФМЭ и ФП определяются распределением концентрации ННЗ по толщине структуры [2].

Существенный прогресс в технологии молекулярно-лучевой эпитаксии (МЛЭ) тройных растворов кадмий–ртуть–теллур (КРТ) позволил выращивать структуры с заданным профилем запрещенной зоны по толщине [3]. Применение варизонных приграничных областей, в которых ширина запрещенной зоны увеличивается от центральной области образца к его границам, существенно снижает влияние поверхности на время жизни ННЗ [4]. На таких структурах ФМЭ и ФП в магнитном поле не изучались.

В данной работе рассматривается поведение фотогенерированных ННЗ в стационарных скрещенных электрическом и магнитном полях в трехслойной гетероэпитаксиальной структуре *p*-КРТ МЛЭ.

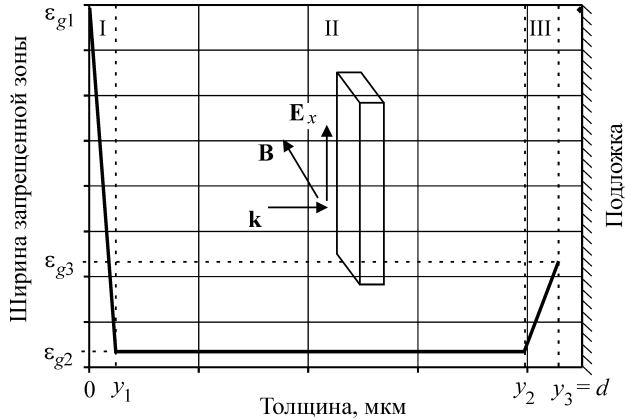


Рис. 1. Профиль края зоны проводимости для структуры *p*-КРТ: I – передний варизонный слой, II – центральный рабочий слой, III – задний варизонный слой

**Модель для расчетов.** Профиль мольного содержания кадмия  $x_{\text{Cd}}$  по толщине структуры *p*-КРТ с варизонными приграничными областями можно аппроксимировать линейной зависимостью [4]. Известно, что ширина запрещенной зоны прямо пропорциональна  $x_{\text{Cd}}$ , поэтому ее профиль также будет линейно изменяться по толщине (рис. 1).

В варизонных слоях существует встроенное электрическое поле с напряженностью

$$E_{1y} = \frac{1}{e} \frac{\partial \epsilon_g(x_{\text{Cd}})}{\partial x_{\text{Cd}}} \frac{\partial x_{\text{Cd}}}{\partial y} \approx \frac{1}{e} \frac{\epsilon_{g2} - \epsilon_{g1}}{y_1}; \quad E_{3y} = \frac{1}{e} \frac{\partial \epsilon_g(x_{\text{Cd}})}{\partial x_{\text{Cd}}} \frac{\partial x_{\text{Cd}}}{\partial y} \approx \frac{1}{e} \frac{\epsilon_{g3} - \epsilon_{g2}}{y_3 - y_2}, \quad (1)$$

где  $e$  – величина элементарного заряда. На рисунке в «рабочем» слое II ширина запрещенной зоны  $\epsilon_{g2}$  постоянна, поэтому  $E_{2y} = 0$ .

Для вывода аналитических выражений, описывающих поведение ННЗ в скрещенных электрическом и магнитном полях, применяем уравнения непрерывности, транспортные уравнения для плотности токов электронов и дырок в магнитном поле, условие отсутствия полного тока в направлении оси  $y$  и уравнение электронейтральности:

$$\begin{cases} \frac{\partial \Delta n}{\partial t} = \beta \alpha G - \frac{\Delta n}{\tau_n} + \frac{1}{e} \operatorname{div} j_n, \\ \frac{\partial \Delta p}{\partial t} = \beta \alpha G - \frac{\Delta p}{\tau_p} - \frac{1}{e} \operatorname{div} j_p, \end{cases} \quad (2)$$

$$\begin{cases} j_n = en\mu_n E + eD_n \operatorname{grad} \Delta n - \mu_n [j_n \times B], \\ j_p = en\mu_p E + eD_p \operatorname{grad} \Delta p - \mu_p [j_p \times B], \end{cases} \quad (3)$$

$$j_y = j_{ny} + j_{py} = 0, \quad (4)$$

$$\Delta n[1 + K] = \Delta p, \quad (5)$$

где  $\mu_n$  и  $\mu_p$ ,  $n$  и  $p$  – подвижности и концентрации электронов и дырок;  $B$  – значение индукции магнитного поля;  $D_n$  и  $D_p$ ,  $\tau_n$  и  $\tau_p$  – коэффициенты диффузии и времена жизни электронов и дырок;  $\beta$  – квантовый выход;  $\alpha$  – коэффициент поглощения;  $G = G_0 \exp(-\alpha y)$  – плотность потока фотонов;  $K$  – коэффициент пропорциональности между концентрациями неравновесных электронов на ловушках и в зоне проводимости.

При выводе аналитических выражений используем следующие предположения:

- а) стационарный случай ( $\partial \Delta n / \partial t = \partial \Delta p / \partial t = 0$ );
- б) малый уровень возбуждения ( $p_0, n_0 \gg \Delta p, \Delta n$ );
- в) слабое магнитное поле для тяжелых дырок ( $\mu_p B_{\max} \ll 1$ );
- г) сильное поглощение ( $\alpha d \gg 1$ , где  $d$  – толщина образца);
- д) концентрация дырок одинакова во всех трех слоях [5].

Для упрощения модели будем считать, что подвижность и время жизни ННЗ в варизонных слоях постоянны и равны некоторым средним значениям  $\mu_{ni}$  и  $\tau_{ni}$ , где  $i$  – номер области. Поглощение излучения в варизонной области характеризуем усредненным коэффициентом  $\alpha_1 = y_1^{-1} \int_0^{y_1} \alpha(y) dy$ , зависи-  
мость  $\alpha(y)$  приведена в работе [6].

Если образец помещен в скрещенные электрическое  $E = (E_x, 0, 0)$  и магнитное  $B = (0, 0, B_z)$  поля и освещен излучением с волновым вектором  $\mathbf{k} = (0, k_y, 0)$ , то из уравнений (2)–(5) получаем выражения, описывающие поведение неравновесных электронов в областях I–III:

$$D_{in}^* \frac{\partial^2 \Delta n}{\partial y^2} + V_{id} \frac{\partial \Delta n}{\partial y} - \frac{\Delta n}{\tau_i} = -\alpha_i \beta G_i, \quad (6)$$

где  $D_{in}^* = D_{in} / (1 + \mu_{in}^2 B^2) = D_{in} / (1 + \Theta_{in}^2)$  – коэффициент диффузии электронов в магнитном поле;  $V_{id} = \mu_{in} (E_{iy}^* + (\Theta_{in} + \Theta_p) E_x) / (1 + \Theta_{in}^2)$  – скорость их поперечного дрейфа по оси  $y$  в скрещенных электрическом и магнитном полях;  $i=1,2,3$  – номер области. Общие решения уравнений (6) хорошо известны.

Постоянные коэффициенты находим из граничных условий. На поверхностях пленочной структуры граничные условия имеют вид

$$\begin{cases} j_{1n}(0) = eS_1 \Delta n_1(0), \\ j_{3n}(d) = -eS_2 \Delta n_2(d). \end{cases} \quad (7)$$

На границах раздела слоев  $y_1$  и  $y_2$  концентрации ННЗ и плотности их тока в направлении оси  $y$  должны быть непрерывны:

$$\begin{cases} \Delta n_1(y_1) = \Delta n_2(y_1), \\ \Delta n_2(y_2) = \Delta n_3(y_2), \\ j_{1n}(y_1) = j_{2n}(y_1), \\ j_{2n}(y_2) = j_{3n}(y_2), \end{cases} \quad (8)$$

где плотность тока ННЗ в направлении оси  $y$  определяется выражением

$$j_{in}(y) = eV_{id}\Delta n_i(y) + eD_{in}^* \frac{\partial \Delta n_i}{\partial y}. \quad (9)$$

Сильное встроенное электрическое поле варизонных областей выталкивает ННЗ в центральную область II, поэтому из уравнений (7) и (8) после подстановки общих решений выделим путем преобразования два уравнения, относящиеся к рабочей области:

$$\begin{cases} j_{2n}(y_1) = eS_{1\text{эф}}\Delta n_2(y_1) - g_s e, \\ j_{2n}(y_2) = -eS_{2\text{эф}}\Delta n_2(y_2), \end{cases} \quad (10)$$

где  $S_{1\text{эф}}$  и  $S_{2\text{эф}}$  можно придать смысл эффективных скоростей поверхностной рекомбинации на передней и задней границе рабочего слоя II, которые учитывают диффузию ННЗ из области II в I и III с последующей их рекомбинацией. Соответственно  $g_s$  определим как эффективный темп поверхностной генерации ННЗ на границе раздела рабочего слоя и освещенной варизонной области. Темп учитывает фотогенерированные ННЗ в варизонной области I, вытолкнутые встроенным электрическим полем в область II. Для реальных фотоприемных структур сила Кулона, действующая на ННЗ в варизонных слоях, гораздо больше силы Лоренца, возникающей в скрещенных электрическом  $E_x$  и магнитном  $B$  полях ( $eE_{y1,3} \gg e\mu_n BE_x$ ). В этом приближении выражения для  $S_{1\text{эф}}$ ,  $S_{2\text{эф}}$  и  $g_s$  имеют следующий вид:

$$S_{1\text{эф}} \approx -\frac{k_b T}{e} \frac{1}{E_{1y} \tau_{1n}}, \quad (11)$$

$$S_{2\text{эф}} \approx \frac{k_b T}{e} \frac{1}{E_{3y} \tau_{3n}}, \quad (12)$$

$$g_s = \beta G_0 (1 - e^{-\alpha_1 y_1}). \quad (13)$$

Используя граничные условия (10), получаем распределение концентрации неравновесных электронов по толщине рабочего слоя:

$$\begin{aligned} \Delta n_2(y) = & \frac{1}{z(y)} [(A_2(D_{2n}^* \alpha_2 - V_{2d} + S_{1\text{эф}}) - g_s) \times \\ & \times (D_{2n}^* \lambda_{22} + V_{2d} + S_{2\text{эф}}) e^{\lambda_{22} y_2 + \lambda_{21} y} - (A_2(D_{2n}^* \alpha_2 - V_{2d} + S_{1\text{эф}}) - g_s) \times \\ & \times (D_{2n}^* \lambda_{21} + V_{2d} + S_{2\text{эф}}) e^{\lambda_{21} y_2 + \lambda_{22} y}] + A_2 e^{-\alpha_2 y}, \end{aligned} \quad (14)$$

где

$$z(y) = (D_{2n}^* \lambda_{21} + V_{2d} - S_{1\text{эф}})(D_{2n}^* \lambda_{22} + V_{2d} + S_{2\text{эф}}) e^{\lambda_{21} y_1 + \lambda_{22} y_2} -$$

$$-(D_{2n}^* \lambda_{22} + V_{2d} - S_{1\phi\phi})(D_{2n}^* \lambda_{21} + V_{2d} + S_{2\phi\phi}) e^{\lambda_{21}y_2 + \lambda_{22}y_1}, \quad (15)$$

$$A_2 = -\frac{\beta \alpha_2 G_0 e^{-(\alpha_1 - \alpha_2)y_1}}{\alpha_2^2 D_{2n}^* - V_{2d} \alpha_2 - 1/\tau_{2n}}, \quad (16)$$

а  $\lambda_{21,22} = -V_{2d}/2D_{2n}^* \pm \sqrt{(V_{2d}/2D_{2n}^*)^2 + 1/D_{2n}^*\tau_{2n}}$  – корни соответствующих характеристических уравнений.

Аналогично можно получить распределение неравновесных электронов в вариационных областях I и III.

**Результаты и обсуждение.** Профили концентраций ННЗ, рассчитанные при освещении слоя I по формулам (14) и (15), приведены на рис. 2. При отсутствии магнитного поля ( $B = 0$ ), как видно из рисунка, концентрация ННЗ почти не меняется по толщине рабочего слоя II. Это объясняется тем, что длина диффузии (21 мкм) в данном случае превышает толщину рабочего слоя (9 мкм), а также очень малыми значениями скоростей поверхностной рекомбинации  $S_{1\phi\phi}$  и  $S_{2\phi\phi}$ . В скрещенных тянувшем электрическом  $E_x$  и магнитном  $B$  полях на ННЗ действует сила Лоренца, которая прижимает их либо к передней поверхности (при  $B > 0$ ), либо к задней поверхности пленки (при  $B < 0$ ). В вариационных слоях I и III для ННЗ выполняется условие  $eE_{y1,3} \gg e\mu_n BE_x$ , поэтому сила Лоренца не приводит здесь к заметному изменению

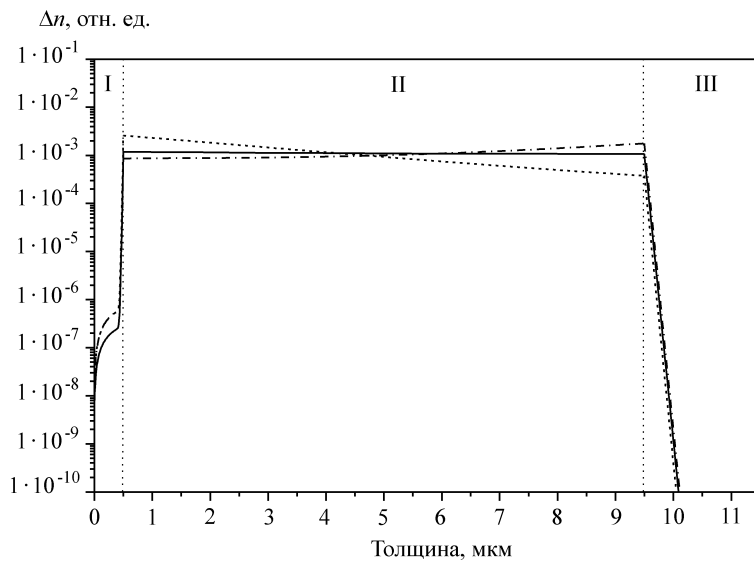


Рис. 2. Распределение неравновесных электронов по толщине структуры при разных значениях индукции магнитного поля ( $B = 0$  – сплошная кривая,  $B = -0,4$  Тл – штрихпунктирная,  $B = 0,4$  Тл – пунктирная), рассчитанное при следующих значениях параметров:  $S_{1\phi\phi} = 0,1$  м/с,  $S_{2\phi\phi} = 1$  м/с,  $\tau_{2n} = 10$  нс,  $\alpha_1 = 2,10 \cdot 10^6$  м/с,  $\alpha_2 = 2,05 \cdot 10^6$  м/с,  $\mu_{2n} = 5,7$  м<sup>2</sup>/В·с,  $\mu_p = 0,057$  м<sup>2</sup>/В·с,  $y_1 = 0,5$  мкм,  $y_2 = 9,5$  мкм,  $y_3 = 11,5$  мкм,  $E_x = 500$  В/м,  $T = 77$  К. Средние времена жизни и подвижность в вариационных слоях:  $\tau_{1n} = \tau_{3n} = 10\tau_{2n}$ ,  $\mu_{1n} = \mu_{3n} = \mu_{2n}/2$

профиля концентрации. Вследствие большого градиента концентрации на границах рабочего слоя и областей I и III ННЗ диффундируют в варизонные области на глубину порядка 0,02 мкм. Разница в распределении концентраций по толщине в областях I и III вызвана тем, что освещена только передняя варизонная область.

**Заключение.** Трехслойная структура *p*-КРТ МЛЭ с приграничными варизонными областями для описания поведения фотогенерированных ННЗ в стационарных скрещенных электрическом и магнитном полях в геометрии Фойгта может быть сведена к однородной пленке при условии, что сила Лоренца, действующая на неравновесные носители заряда в скрещенных тянувшем электрическом и магнитном полях, много меньше силы Кулона в варизонной области. Действие варизонных областей на ННЗ заменяется введением эффективных скоростей поверхностной рекомбинации  $S_{1\text{эфф}}$  и  $S_{2\text{эфф}}$  на границах варизонных слоев и рабочей области, а также эффективного темпа поверхностной генерации  $g_s$  на освещенной стороне рабочего слоя. Величины  $S_{1\text{эфф}}$  и  $S_{2\text{эфф}}$  обусловлены обратной диффузией ННЗ в варизонные области и определяются градиентом ширины запрещенной зоны и временем жизни в варизонных слоях. Эффективный темп поверхностной генерации обусловлен выносом фотогенерированных ННЗ из освещенной варизонной области в рабочую область.

#### СПИСОК ЛИТЕРАТУРЫ

1. Nowak M. Photoelectromagnetic effect in semiconductors and its application // Prog. Quant. Electr. 1987. **11**. P. 205.
2. Студеникин С. А., Панаев И. А., Костюченко В. Я., Торчинов Х.-М. З. Фотомагнитный эффект и фотопроводимость тонких эпитаксиальных слоев  $\text{Cd}_x\text{Hg}_{1-x}\text{Te}/\text{CdTe}$  // ФТП. 1993. **27**, вып. 5. С. 744.
3. Varavin V. S., Vasiliev V. V., Dvoretsky S. A. et al. HgCdTe epilayers on GaAs: growth and devices // Proc. SPIE. 2003. **5136**. P. 381.
4. Войцеховский А. В., Денисов Ю. А., Коханенко А. П. и др. Особенности спектральных и рекомбинационных характеристик МЛЭ-структур на основе CdHgTe // Автометрия. 1998. № 4. С. 47.
5. Бахтин П. А., Дворецкий С. А., Варавин В. С. и др. Исследование зависимостей проводимости и коэффициента Холла от магнитного поля в пленках  $\text{Cd}_x\text{Hg}_{1-x}\text{Te}$ , выращенных методом молекуллярно-лучевой эпитаксии // ФТП. 2004. **38**, вып. 10. С. 1203.
6. Anderson W. W. Absorption constant of  $\text{Pb}_{1-x}\text{Sn}_x\text{Te}$  and  $\text{Hg}_{1-x}\text{Cd}_x\text{Te}$  alloys // Infrared Phys. 1980. **20**. P. 363.

Поступила в редакцию 11 декабря 2007 г.